

## 自由振动法测量材料杨氏模量\*

程 鲲

(盐城工学院 实验教学部, 江苏 盐城 224003)

**摘 要** 根据振动理论, 给出了悬臂梁自由振动的周期与材料杨氏模量的关系, 并设计了一种测量材料杨氏模量的实验装置, 该装置的测量精度比传统的静态拉伸法高一个数量级。

**关键词** 杨氏模量; 固有频率; 弯曲振动; 自由振动

中图分类号: G642.423

文献标识码: A

文章编号: 1671-5322(2005)04-0047-03

测量弹性系统的振动固有频率一般采用共振法, 本文讨论自由振动法, 并以自由振动法为基础, 设计一种测量材料杨氏模量的实验装置。

## 1 自由振动法测量杨氏模量的原理

任何弹性系统在作自由振动时, 系统振动的固有频率与系统的内在属性直接相关, 这些属性包括系统结构、系统材料、系统振动模态等, 下面以梁的弯曲自由振动加以说明。

### 1.1 弯曲自由振动的运动微分方程<sup>[1]</sup>

研究均质细长等截面直梁的平面弯曲振动, 由于是细长直梁, 则梁的运动可用梁轴线上各点的位移表示。梁的  $l$ 、 $\rho$ 、 $I$ 、 $E$  均为常数, 其中  $l$  为梁的长度,  $\rho$  为梁长度方位的线密度,  $I$  为梁横截面对弯曲中性轴的惯性矩,  $E$  为梁材料的杨氏模量。梁的弯曲振动如图 1 所示, 利用微分方法, 将梁分为若干个微元, 相邻微元之间的相互作用力如图 2 所示, 即梁的弯矩  $M$ 、剪力  $Q$ , 而  $M$ 、 $Q$  是  $x$  的函数, 即  $M = M(x)$ ,  $Q = Q(x)$ , 它们与梁轴线的弯曲挠曲线方程  $y = y(x)$  有直接关系:

$$M = EI \frac{\partial^2 y}{\partial x^2} \quad (1)$$

$$Q = \frac{\partial M}{\partial x} \quad (2)$$

将(1)、(2)两式代入梁作自由振动时微元沿  $y$  方位的运动微分方程:

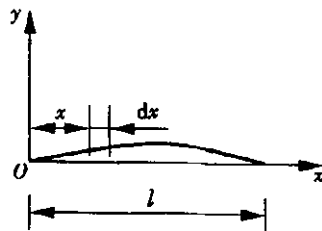


图1 梁的弯曲振动

Fig. 1 Beam's bending vibration

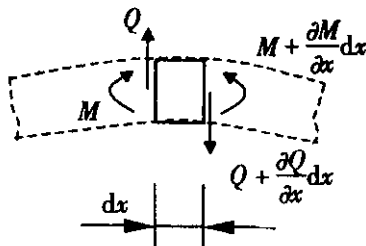


图2 梁微元的受力

Fig. 2 Beam's internal force

$$\rho dx = \frac{\partial^2 y}{\partial t^2} = Q - \left( \frac{\partial Q}{\partial x} dx + Q \right) \quad (3)$$

得:

$$\frac{\partial^4 y}{\partial x^4} + \frac{\rho}{EI} \cdot \frac{\partial^2 y}{\partial t^2} = 0 \quad (4)$$

令  $\frac{EI}{\rho} = a^2$ , 则(4)式表示为:

$$\frac{\partial^4 y}{\partial x^4} + \frac{1}{a^2} \cdot \frac{\partial^2 y}{\partial t^2} = 0 \quad (5)$$

\* 收稿日期 2005-08-11

作者简介: 程 鲲 (1976-) 男, 贵州安顺市人, 盐城工学院助教。

## 1.2 弯曲自由振动的固有频率与振型<sup>[1]</sup>

运用分离变量法,假定四阶偏微分方程(5)的解有如下形式:

$$y(x, t) = A(x)B(t) \quad (6)$$

将(6)式代入方程(5)得:

$$\frac{1}{B} \cdot \frac{d^2 B}{dt^2} = -\frac{a^2}{A} \cdot \frac{d^4 A}{dx^4} \quad (7)$$

(7)式左端、右端分别仅依赖于变量  $t$  与  $x$ , 要使该式成立, 该式的左右端应等于同一常数, 设此常数为  $-\omega^2$ , 且令  $\beta^2 = \frac{\omega}{a}$ , 则有:

$$\frac{d^2 B}{dt^2} + \omega^2 B = 0 \quad (8)$$

$$\frac{d^4 A}{dx^4} - \beta^4 A = 0 \quad (9)$$

由方程(8)的形式可知  $\omega$  即是方程(8)所反映的弯曲自由振动系统的固有角频率。由微分方程理论, 方程(9)的通解可表示为:

$$A(x) = c_1 \operatorname{ch} \beta x + c_2 \operatorname{sh} \beta x + c_3 \cos \beta x + c_4 \sin \beta x \quad (10)$$

式(10)称为弯曲自由振动系统的振型函数,  $\beta$  为振型函数的特征值,  $\beta$  值决定固有角频率,  $c_1$ 、 $c_2$ 、 $c_3$ 、 $c_4$  为与  $\beta$  相对应的系数, 各系数间的相对比值决定振型函数的函数图形状, 即振型。由系统的边界条件, 可确定  $\beta$  与  $A(x)$ 。对均质等截面细长直悬臂梁, 其固定端边界条件可表示为:

$$A(0) = A'(0) = 0 \quad (11)$$

自由端边界条件可表示为:

$$A(l) = A'(l) = 0 \quad (12)$$

由边界条件(11)、(12)得:

$$\left. \begin{aligned} c_1 &= -c_3 \\ c_2 &= -c_4 \end{aligned} \right\} \quad (13)$$

$$\left. \begin{aligned} (\operatorname{ch} \beta l + \cos \beta l) c_1 + (\operatorname{sh} \beta l + \sin \beta l) c_2 &= 0 \\ (\operatorname{sh} \beta l - \sin \beta l) c_1 + (\operatorname{ch} \beta l + \cos \beta l) c_2 &= 0 \end{aligned} \right\} \quad (14)$$

若将  $c_1$ 、 $c_2$  看作未知量, 方程组(14)有非零解的条件为:

$$\cos \beta l \operatorname{ch} \beta l = -1 \quad (15)$$

用数值解法中的二分法解得式(15)的一阶特征根  $\beta_1 l = 1.875 104$ , 从而得:

$$\omega_1 = \beta_1^2 \cdot a = \frac{1.875 104^2}{l^2} \cdot \sqrt{\frac{EI}{\rho}} \quad (16)$$

将一阶特征根  $\beta_1 l$  代入式(14), 可得系数  $c_2$  与  $c_1$  及  $c_3$  与  $c_4$  的一阶比值:

$$\left( \frac{c_2}{c_1} \right)_1 = \left( \frac{c_4}{c_3} \right)_1 = -\frac{\operatorname{sh} \beta_1 l + \sin \beta_1 l}{\operatorname{ch} \beta_1 l + \cos \beta_1 l} \quad (17)$$

对振型而言, 若取  $c_1 = 1$ , 则系统的一阶固有振型函数可取为:

$$A_1(x) = \operatorname{ch} \beta_1 x - \cos \beta_1 x - \frac{\operatorname{sh} \beta_1 l - \sin \beta_1 l}{\operatorname{ch} \beta_1 l + \cos \beta_1 l} (\operatorname{sh} \beta_1 x - \sin \beta_1 x) \quad (18)$$

类似地, 可求出悬臂梁自由振动系统的二阶、三阶固有角频率  $\omega_2$ 、 $\omega_3$  与固有振型函数  $A_2(x)$ 、 $A_3(x)$ 。悬臂梁自由振动系统的前三阶固有振型示意图如图 3 所示。

## 1.3 杨氏模量与振动周期的关系

讨论图 4 均质等截面细长直悬臂梁在小阻尼下的衰减自由振动。初始时施加力  $F$ , 使自由端偏离平衡位置  $y_0$ , 则梁的初始挠曲线为三次抛物线, 撤去  $F$ , 梁将作自由振动。初始挠曲线接近一阶振型曲线, 所以自由振动中主要为一阶固有振型, 而一阶固有振型的衰减速度最慢, 经过一段时间的衰减后, 自由振动就很接近一阶固有振型, 又因阻尼较小, 则认为实际的振动角频率为一阶固有角频率<sup>[3,4]</sup>。

若测出衰减自由振动后期的振动周期  $T$ ,  $T$

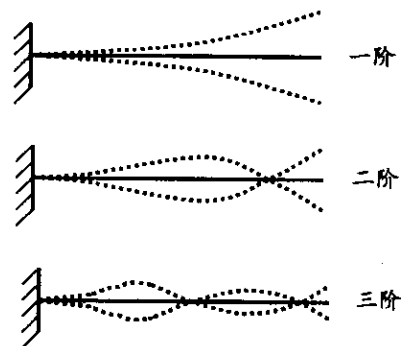


图 3 梁的前三阶固有振型

Fig. 3 The first three order vibration mode

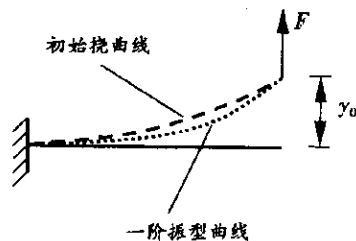


图 4 振动的初始状态

Fig. 4 The beginning of vibration

即近似为悬臂梁的一阶固有周期  $T_1$ ,  $T_1 = \frac{1}{f_1} =$

$\frac{2\pi}{\omega_1}$ , 得悬臂梁材料的杨氏模量:

$$E = \frac{4\pi^2 l^4 \rho}{1.875104^4 I T^2} \quad (19)$$

## 2 实验装置的设计

如图 5 ,将一根均质细长圆截面直钢丝铅垂放置 ,上端用夹头紧固于台座上 ,下端设置一细光束光电门。钢丝静止时 ,仔细调节钢丝与光电门 ,使钢丝恰好遮住光束。经测试 ,钢丝振动的阻尼  $\ll 0.1$  ,可不考虑阻尼对振动周期的影响。在一个振动周期内 ,钢丝会遮断光束 2 次 ,光电门产生的脉冲信号接入 TH—4 型毫秒计 ,可将毫秒计设置为 :对两个脉冲信号记录一次计数及时刻 ,则相邻计数的时刻之差即为钢丝的振动周期。实测

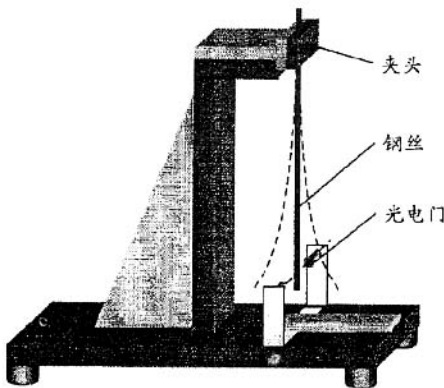


图 5 实验部分装置

Fig. 5 Diagram of laboratory equipment

中 ,使钢丝初始时作近似于一阶振型的自由振动 ,控制毫秒计 ,记录振动后期的若干个记数及对应的时刻 ,选择其中连续的十个数据计算振动周期。

## 3 测量数据及处理结果

### 3.1 钢丝实验常数

选择合适的量具对钢丝进行多次测量 ,取平

均值得钢丝的实验常数 :悬臂长度  $l$  0. 1518 ( m ) ;线密度  $\rho$  0. 003209 ( kg/m ) ,直径  $d$  0. 721 ( mm )

### 3.2 毫秒计记录

在后期的振动中 ,所选择的连续 10 个计数  $i$  所对应的时刻  $t_i$  如表 1 所示。

表 1 毫秒计记录

Tab. 1 data of measurement

| i           | 1      | 2      | 3      | 4      | 5      | 6      | 7      | 8      | 9      | 10     |
|-------------|--------|--------|--------|--------|--------|--------|--------|--------|--------|--------|
| $t_i$ ( s ) | 0.5174 | 0.5625 | 0.6075 | 0.6526 | 0.6976 | 0.7427 | 0.7877 | 0.8327 | 0.8778 | 0.9229 |

### 3.3 钢丝振动周期 $T$

由表 1 中的数据得 :

$$T = \frac{\sum_{i=1}^9 (t_{i+1} - t_i)}{9} = 0.045056 \text{ ( s )}$$

### 3.4 钢丝杨氏模量 $E$

由(19)式得 :

$$\begin{aligned} E &= \frac{4\pi^2 \times 0.1518^4 \times 0.003209}{1.875104^4 \times \frac{\pi \times 0.000721^4}{64} \times 0.045056^2} \\ &= 2.0207 \times 10^{11} \text{ ( N/m}^2 \text{ )} \end{aligned}$$

## 4 结论

以自由振动法为基础 ,用悬臂梁为振动体的实验装置所测钢丝的杨氏模量与钢的标准值  $2.0 \times 10^{11} \text{ N/m}^2$  相差很小 ,对同一根钢丝测量多次的结果相互间也很接近。说明该实验装置具有较高的准确性。该装置的测量原理可靠 ,仪器设备简单 ,从影响测量结果的因素分析 ,如果将钢丝质量、振动时间的测量精度提高 ,可进一步提高实验装置的测量准确性。

## 参考文献 :

[ 1 ] 方同 ,薛璞. 振动理论及应用[ M ]. 西安 :西北工业大学出版社 ,1998.  
 [ 2 ] 吴大方 ,刘安成. 压电智能柔性梁振动主动控制研究[ J ]. 北京航空航天大学学报 2004 ,30( 2 ) :160 - 163.

# Measurement on Young's Modulus by Means of Free Vibration

CHENG Kun

( Department of Experiment Teaching ,Yancheng Institute of Technology ,Jiangsu Yancheng 224003 ,China )

**Abstract** In this paper , the relation of cantilever beam's free vibration period and Young's modulus of materials are introduced , the laboratory equipment of measuring Young's modulus is designed ,the precision of the laboratory equipment is one order of magnitude higher than traditional static stretched method.

**Keywords** 万方数据 Young's modulus ; natural frequency ; bending vibration ; free vibration